

性能シミュレータを用いた Oracle 10g の 性能予測

西岡大祐[†] 川崎正人[†] 濑賀聰[†] 藤井俊勝^{††} 衛藤重豪^{††}

IT システム構築の際にデータベースの性能予測を実現可能にすべく、Oracle データベースシングルインスタンスを対象に、データベースのベンチマークである DBT-1 を用いてその性能を測定し、性能見積もりモデルを作成した。本報告では、SunFire 280R(1, 2 CPU)上の Oracle 10g をインストールし、1 CPU 時に DBT-1 で定義された 14 種類のトランザクションの性能を個別に測定してモデル化した。この性能モデルを用いて、DBT-1 の Shopping Mix ベンチマークを 1 CPU 時、2 CPU 時でシミュレーションと実施を行い、性能モデルのスケールアップ時における有効性を確認した。

Prediction of Performance of Oracle 10g by Performance Simulator

DAISUKE NISHIOKA[†] MASATO KAWASAKI[†] SATOSHI SEGA[†]
TOSHIKATSU FUJII^{††} SHIGEHIDE ETOH^{††}

The performance was measured by using DBT-1 that was the bench mark of the data base for Oracle data base single instance to enable the achievement of the performance forecast of the data base in the IT system construction, and the performance estimate model was made. In this report, Oracle 10g of SunFire 280R(1, 2 CPU) was installed, and 1 The performance of 14 kinds of transactions that had been defined by DBT-1 at CPU was modeled individually measuring it. This performance model was used, and the Shopping Mix bench mark of DBT-1 was 1, 2 at CPU. The simulation and execution were done at the CPU time, and the effectiveness of the performance model at the scale-up was confirmed.

1. はじめに

1.1 目的

近年の IT 環境では、オープン化の流れの中でさまざまな技術が導入されている。また、技術のライフサイクルも短縮化されている。このような状況下で、IT 資源の拡張性と可用性を高めるためにはクラスタリングシステムが有効である。

クラスタリングシステムとは、サーバー複数台でひとつのシステムを構成することであり、このときの各サーバーをノードと呼ぶ。性能が足りないときにノードを追加したり、ひとつのノードがダウンしたりしても他のノードで処理が継続できる。その反面、複数のノードがデータを共有するため、競合するノードが増えれば増えるほどディスク I/O にボトルネックが生じやすくなる。

IT システムの中でも特に重要であるデータベースにクラスタリング手法を導入した代表的な製品として、米国 Oracle 社の Oracle Real Application Clusters (Oracle RAC)^[1] がある。データ競合に対しては、Oracle RAC

では、データの同期作業をバッファ転送で対応する「キヤッシュフェージョン」という技術が採用されている。そのため、Oracle 内部では負荷分散やデータの同期など複雑な処理が行われており、Oracle システムの構築時に性能単価の積み上げや、過去の事例からの類推といった経験則だけで予測することは困難であるという問題があった。そのため、解析的な手法や性能シミュレーションによる性能予測技術が期待されている。

本報告では、後者の性能シミュレーションによるアプローチによって、Oracle システムの性能を予測し、システム構築の生産性を向上させることを目的とする。

1.2 測定対象

データベースとして広く使われている Oracle 10g を対象とし、第一段階として、シングルインスタンスを対象として性能モデルを作成する。シングルインスタンスモデルの評価を行った後に、第二段階として Oracle RAC システムのモデル化に取り組むこととした。本報告では、第一段階の結果を報告する。

データベースの性能測定方法としては TPC^[2] (Transaction Processing Performance Council)によって策定されたベンチマークを用いるのが標準的であるが、本報告では、Web システム向きに策定されたベンチマークである、TPC-W の簡易版である DBT-1^[3]を対象とした。その理由として、

[†] 株式会社ケイ・ジー・ティー
KGT Inc.

^{††} 株式会社ベンチャリーシステムズ
VENTURY SYSTEMS CO., LTD.

- (1)環境が構築しやすい、
- (2)ソースで提供されているため、測定する目的に合わせて修正が可能、
- (3)無償で利用できる
が挙げられる。

2. Oracle 性能モデルの作成方針

Oracle の RAC 構成は複雑なため、Oracle RAC モデル作成を二つの段階に分けて実施する。本報告では、前述のとおり第一段階について説明する。

(1) 第一段階

Oracle のシングルインスタンス (RAC 構成でない) を対象に、1CPU 時の性能単価を測定してモデル化する。バリデーションには、1CPU のほか、同構成で 2CPU にした場合についても実施する。

(2) 第二段階

RAC 構成を構築し、フェーズ 1 と同じ測定を行い、両者の差異の把握とモデル化を行う。

3. Oracle シングルインスタンスモデルの測定方法

Oracle RAC モデル作成の最初の段階として、DBT-1 ベンチマークプログラム ver.2.1 を対象に、フェーズ 1 の実測を行った。

3.1 測定環境

DBT-1 ベンチマークプログラムの測定環境を表 1 に示す。それぞれのマシンでは DBT-1 プログラムとモニタ用ツール以外のプログラムは使用せずに測定する。ネットワーク環境は、ローカルネットワークであり、他のマシンも接続されているが、他のマシンのトラフィック量は非常に少ないため無視できる。

表 1 DBT-1 ベンチマークプログラム測定環境

| | サーバー | クライアント |
|------|---|--|
| 機種 | SunFire 280R | Dell Precision 650 |
| スペック | UltraSPARC III 1.2GHz x 2 (712:SPEC2000) 2GB メモリ | Xeon 3.5GHz x 1 Hyper-Thread Off 1GB メモリ |
| OS | Solaris 9 | RHLE 3.0 |
| アプリ | Oracle 10g | DBT-1 2.1 |

DBT-1 は、通常クライアントとデータベースが同一のマシン上で実行される。しかし、その場合、DBT-1

自身の負荷が性能評価に影響を及ぼしてしまうため、本報告では、DBT-1 をクライアント部分と、SQL トランザクション実行部分に分けてインストールした。

3.2 測定方法

本報告の測定対象は CPU 稼働率および、ネットワーク伝送量とする。それは、チューニングが十分に行われた状態の Oracle に発生するボトルネックは CPU であることが分かっているためである。本報告でも事前にチューニングを行い、ほぼすべてのアクセスがキャッシュにヒットするようにして、ディスクの負荷がかからないように設定した。

DBT-1 では e-コマースを想定した 14 種類のインタラクションが定義され、それらの混在比率による 3 種類の Mix が用意されている。DBT-1 のインタラクションと 3 種類うち Shopping Mix の混合比率を表 2 に示す。下記のインタラクションのうち、Search Result インタラクションについては、DBT-1 ver.2.1 では、search_results_author , search_results_subject , search_results_title, の 3 種類のインタラクションに分かれているため、さらに 3 等分してそれぞれのインタラクションに分けることとした。

表 2 DBT-1 のインタラクションと、
Shopping Mix 混合比率

| インタラクション | Shopping Mix の割合 |
|-----------------------|------------------|
| Home | 16% |
| New Product | 5% |
| Best Seller | 5% |
| Product Detail | 17% |
| Search Result | 20% |
| Search Request | 17% |
| Shopping Cart | 11.6% |
| Customer Registration | 3% |
| Buy Request | 2.6% |
| Buy Confirm | 1.2% |
| Order Inquiry | 0.75% |
| Order Display | 0.66% |
| Admin Request | 0.1% |
| Admin Confirm | 0.09% |

本報告では、DBT-1 を用いた Oracle シングルインスタンス (フェーズ 1) モデルを作成するために、次の三段階で測定を行う。

3.2.1 性能単価の測定

各インタラクションを個別に測定し、各インタラクションが要する CPU 使用量と、ネットワーク伝送量を求め、それらを性能単価として性能モデルに定義する。CPU 使用量は、CPU 使用時間を Oracle 付属の AWR (Automatic Workload Repository)^[4] を用いて測定した。AWR を用いることで、実際に Oracle が使用した CPU 時間を正確に求めることができる。ネットワーク伝送量は、オープンソースソフトウェアの Windows 版 Wireshark^[5] を用いて測定した。各インタラクションには Oracle への接続と切断にかかる処理が加わるため、インタラクションを行わない接続切断だけの処理 (blank) のときの伝送量を求めておき、各インタラクションの総伝送量から接続切断に要する伝送量を引いた値を、各インタラクションの伝送量と定義する。なお、性能単価を求める際は、サーバーの CPU 数を 1 にして測定した。また、性能単価の検証方法として、各インタラクションを 0.1 秒ごとに連続実行したときの実測結果とシミュレーション結果を比較するようにした。

3.2.2 Shopping Mix の再現性の検証

Oracle 10g シングルインスタンス DBT-1 で定められている三種類の Mix、すなわち、Browsing Mix, Shopping Mix, Ordering Mix のうち、参照系と更新系の割合が同等な Shopping Mix に対して、実測結果と、(1)で求めた性能単価を組み合わせて構成したシミュレーション結果を比較し、モデルの再現性を検証する。この際も、サーバーの CPU 数を 1 にして測定した。

3.2.3 ハードウェア構成変更による影響調査

構築したモデルを用いて、構成変更の影響の予測と比較を行う。具体的には、CPU 数を測定時の 1 から 2 へ変更したとき（スケールアップ時）のシミュレーションを行う。また、その結果と実際に CPU 数を 2 にしたときの実測結果と比較して再現性を検証する。

4. Oracle 10g シングルインスタンスモデルの作成

本章では、Oracle 10g シングルインスタンスマネージャーの実装と、3.2 節で示した測定方法による測定結果と、それに基づいて作成した性能モデルのシミュレーション結果の検証について述べる。

4.1 実装方法

本報告で作成した Oracle 10g シングルインスタンスマネージャーは、性能シミュレータ米国 HyPerfomix 社製の IPS Performance Optimizer 3.6.1 上で、シミュレータ用記述言語 ADN (Application Definition Notation) を用いて性能モデルを実装した。

4.2 CPU 時間の測定

各インタラクションの CPU 単価を AWR の CPU_TIME_DELTA から取得した性能単価を表 3 に示す。ここで、blank は DBT-1 の定義にはないインタラクションで接続と切断だけを行う。このインタラクションでの性能単価を求めておくことで、各インタラクションが純粋に使用する性能単価を得ることができる。

AWR では各インタラクションで Oracle が SQL 处理に使用する CPU 使用量が秒で得られる。そのため、接続と切断だけの blank インタラクションの CPU 使用量はゼロである。

性能シミュレーションを行う際は、モデルに記述する CPU 単価を SPEC_Cint2000 に変換する必要がある。表 1 に示したように、測定機である SunFire 280R の SPEC 値は 712 と、AWR 単価（秒）との積がシミュレーションに必要な CPU 単価となる。

表 3 CPU 単価の測定結果

| Interaction | AWR 単価 (秒) | AWR 単価 (SPEC) |
|------------------------|---------------|------------------|
| admin_confirm | 0.002663307 | 1.896274894 |
| admin_request | 0.000985948 | 0.701994812 |
| best_sellers | 0.042162208 | 30.01949174 |
| buy_confirm | 0.00189486 | 1.349140607 |
| buy_request | 0.005974356 | 4.253741131 |
| home | 0.002945741 | 2.0973678 |
| new_products | 0.041984171 | 29.89272984 |
| order_display | 0.005775417 | 4.11209665 |
| order_inquiry | 0.000939183 | 0.668698531 |
| product_detail | 0.001443529 | 1.02779287 |
| search_results_author | 0.002104066 | 1.498095108 |
| search_results_subject | 0.040403251 | 28.76711468 |
| search_results_title | 0.03052188 | 21.73157889 |
| shopping_cart | 0.213672072 | 152.1345149 |
| blank | 0.006528457 | 4.648261339 |

4.3 サーバー滞留時間の算出

AWR では、CPU_TIME_DELTA に加えて、ELAPSED_TIME_DELTA がレポートされる。前者は純粋に CPU 使用時間であり、後者は I/O 待ちなども含めたひとつのトランザクションの処理時間であり、したがって、滞留時間は ELAPSED_TIME_DELTA と CPU_TIME_DELTA の差がサーバーで求められる。そのように求めたサーバー滞留時間を表 4 に示す。

表 4 サーバー滞留時間

| Interaction | ELAPSED_TIME _DELTA(秒) | 滞留時間(秒) |
|-----------------------|---------------------------|-------------|
| admin_confirm | 0.00274775 | 8.44429E-05 |
| admin_request | 0.001013356 | 2.74084E-05 |
| best_seller | 0.044800588 | 0.00263838 |
| buy_confirm | 2.809006357 | 0.095164385 |
| buy_request | 0.006265952 | 0.000291596 |
| home | 0.003028295 | 8.25534E-05 |
| new_products | 0.044475654 | 0.002491483 |
| order_display | 0.005992464 | 0.000217047 |
| order_inquiry | 0.000970285 | 3.11013E-05 |
| product_detail | 0.001465129 | 2.15993E-05 |
| search_request | 0.002139536 | 3.54698E-05 |
| search_result_author | 0.041783525 | 0.001380274 |
| search_result_subject | 0.031611428 | 0.001089547 |
| search_result_title | 0.220955518 | 0.007283446 |
| shopping_cart | 0.006716725 | 0.000188268 |
| blank | 0 | 0 |

次に、ネットワーク伝送量について、Wireshark を用いて測定した結果を表 5 に示す。ネットワーク伝送にはクライアントから Oracle へ SQL アクセスする送信方向と Oracle からクライアントへ結果を返す受信の二つの方向がある。ネットワーク伝送にはクライアントから Oracle へ SQL アクセスする送信方向と Oracle からクライアントへ結果を返す受信の二つの方向がある。

表 5 ネットワーク伝送量の測定結果

| Interaction | 方向 | 総転送量 (byte) | 実転送量* (byte) |
|---------------|----|----------------|-----------------|
| admin_confirm | 送信 | 10935 | 3493 |
| | 受信 | 9579 | 2304 |
| admin_request | 送信 | 9495 | 2053 |
| | 受信 | 8903 | 1628 |
| best_sellers | 送信 | 15856 | 8414 |
| | 受信 | 34909 | 27634 |
| buy_confirm | 送信 | 22791 | 15349 |
| | 受信 | 7746 | 471 |
| buy_request | 送信 | 23104 | 15662 |
| | 受信 | 11054 | 3779 |

| | | | |
|-----------------------|----|-------|-------|
| home | 送信 | 10210 | 2768 |
| | 受信 | 8920 | 1645 |
| new_products | 送信 | 34567 | 27125 |
| | 受信 | 15843 | 8568 |
| order_display | 送信 | 27110 | 19668 |
| | 受信 | 11954 | 4679 |
| order_inquiry | 送信 | 8861 | 1419 |
| | 受信 | 8846 | 1571 |
| product_detail | 送信 | 10555 | 3113 |
| | 受信 | 9519 | 2244 |
| search_request | 送信 | 8602 | 1160 |
| | 受信 | 7481 | 206 |
| search_result_author | 送信 | 28956 | 21514 |
| | 受信 | 12355 | 5080 |
| search_result_subject | 送信 | 28969 | 21527 |
| | 受信 | 15587 | 8312 |
| search_result_title | 送信 | 28966 | 21524 |
| | 受信 | 12033 | 4758 |
| shopping_cart | 送信 | 21481 | 14039 |
| | 受信 | 7680 | 405 |
| blank | 送信 | 7442 | 0 |
| | 受信 | 7275 | 0 |

5. Oracle 10g シングルインスタンスモデルの検証

4 章で測定した性能単価を用いた性能モデルを作成した。本章では、各々のインタラクションの再現性および、 Shopping Mix について表 2 に示した混合比率でトランザクションを発生させたときの再現性を比較した。

5.1 性能単価の検証

はじめに各インタラクションについて個別にトランザクションを流した状況を実測とシミュレーションで比較する。性能単価の検証に用いた性能モデルのトポロジーを図 1 に示す。この性能モデルはインタラクションごとにクライアントを用意して、必要なインタラクションに対するクライアントだけを稼動させるようになっている。検証にあたっての目安として、本報告ではシステム構築者への定性的なヒアリングから 30% 以内という差異を妥当な範囲とする。

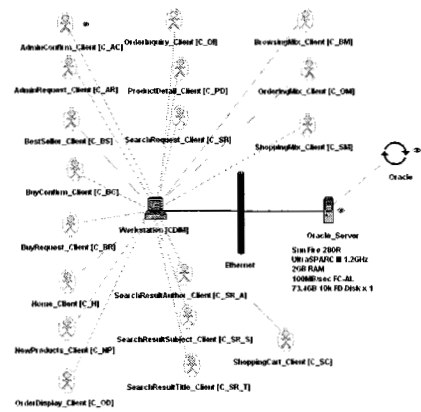


図 1 性能単価測定用モデル

この性能モデルを用いて、各インタラクションについて ThinkTime（トランザクションが戻って次のトランザクションを発生させる間隔）を 0.1 秒と設定した状況を、CPU 時間、実行時間について実測結果とシミュレーションによる予測結果を比較して検証する。はじめに CPU 時間にについて比較した結果を図 2 に示す（グラフ上の CPU 時間のオーダーが異なる search_results_title はグラフからはずしている）。

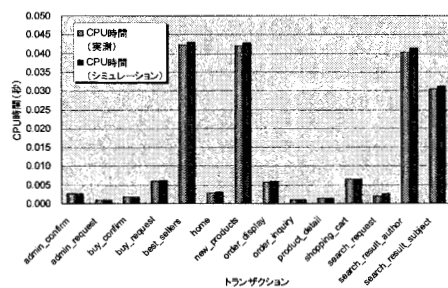


図 2 インタラクションごとの CPU 時間の比較

また、すべてのインタラクションの値と、差異の一覧を表 6 に示す。

表 6 インタラクションごとの CPU 時間の差異

| トランザクション | CPU 実測(秒) | CPU 予測(秒) | 差異 (%) |
|---------------|-----------|-----------|--------|
| admin_confirm | 0.002663 | 0.002720 | 2.13 |
| admin_request | 0.000986 | 0.001010 | 2.44 |
| buy_confirm | 0.001895 | 0.00194 | 2.38 |
| buy_request | 0.005974 | 0.006100 | 2.10 |
| best_sellers | 0.042162 | 0.043100 | 2.22 |

| | | | |
|-----------------------|----------|----------|-------|
| home | 0.002946 | 0.003010 | 2.18 |
| new_products | 0.041984 | 0.042900 | 2.18 |
| order_display | 0.005775 | 0.005900 | 2.16 |
| order_inquiry | 0.000939 | 0.000959 | 2.11 |
| product_detail | 0.001444 | 0.001470 | 1.83 |
| shopping.cart | 0.006528 | 0.006670 | 2.17 |
| search_request | 0.002104 | 0.002720 | 29.27 |
| search_result_author | 0.040403 | 0.041300 | 2.22 |
| search_result_subject | 0.030522 | 0.031200 | 2.22 |
| search_result_title | 0.213672 | 0.218000 | 2.03 |

この結果、CPU 時間にに関して、各トランザクションの差異の平均値は 3.98%，最小は 1.83% (product_detail)，最大は 29.27% (search_request) となった。

次に、I/O 待ちなども含んだ実行時間について、CPU 時間と同様、オーダーが異なる search_results_title を除いた、実測とシミュレーションによる予測結果を比較したグラフを図 3 に示す。また、すべてのインタラクションの値と、差異の一覧を表 7 に示す。

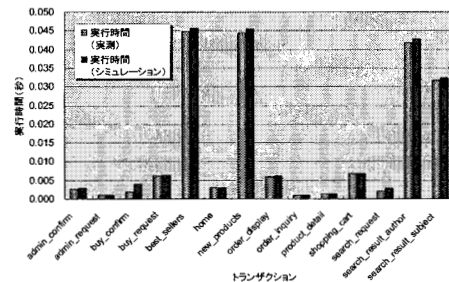


図 3 インタラクションごとの実行時間の比較

表 7 インタラクションごとの実行時間の差異

| トランザクション | 実行時間 実測(秒) | 実行時間 予測(秒) | 差異 (%) |
|---------------|------------|------------|--------|
| admin_confirm | 0.002748 | 0.002810 | 2.22 |
| admin_request | 0.001013 | 0.001030 | 1.62 |
| buy_confirm | 0.001912 | 0.003850 | 50.35 |
| buy_request | 0.006266 | 0.006390 | 1.94 |
| best_sellers | 0.044801 | 0.045700 | 1.97 |
| home | 0.003028 | 0.003090 | 2.00 |
| new_products | 0.044476 | 0.045400 | 2.04 |
| order_display | 0.005992 | 0.006120 | 2.08 |

| | | | |
|-----------------------|----------|----------|-------|
| order_inquiry | 0.000970 | 0.000991 | 2.09 |
| product_detail | 0.001465 | 0.001500 | 2.32 |
| shopping_cart | 0.006717 | 0.006860 | 2.09 |
| search_request | 0.002140 | 0.002810 | 23.86 |
| search_result_author | 0.041784 | 0.042700 | 2.15 |
| search_result_subject | 0.031611 | 0.032300 | 2.13 |
| search_result_title | 0.220956 | 0.226000 | 2.23 |

この結果、実行時間に関して、各トランザクションの差異の平均値は 6.74%、最小は 1.62%(admin_request)、最大は 50.35%(buy_confirm)となった。ここで、差異の最大値が妥当な範囲を満たしていないが、表 2 にあるように、当該インターラクションの buy_confirm は、Shopping Mix のうち 1.2%しか発生しないため、このまま用いても全体性能予測に大きな影響を及ぼさないと考え、このままこの値を用いて Shopping Mix の測定を行うこととした。

5.2 Shopping Mix 再現性の検証

はじめに Shopping Mix の検証に用いた性能モデルのトポロジーを示す。

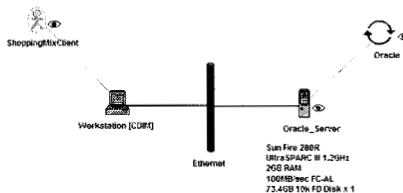


図 4 Shopping Mix の検証モデル

このモデルを用いて、DBT-1 の Shopping Mix について、1 CPU 構成で実測とシミュレーション予測を実施した。Shopping Mix では、同時アクセスを行う仮想ユーザ数 (EU: Emulate User) を増加させたときの CPU 稼働率、応答時間、スループットの 3 種類のデータを取得した。これらの比較結果をそれぞれ、図 5、図 6、および図 7 に示す。

各グラフとも実測とシミュレーションの間に類似性が見られるが、一般にスループットが最大になる箇所が性能限界とされる。そこでスループットが増加から減少へ転ずる箇所をグラフから読み取と、実測での性能限界 EU=410、シミュレーションで予測した性能限界 EU=360 となり、両者の差は約 12.2%である。以上のことから、1CPU 時の Shopping Mix の再現性に関しては、妥当な範囲で予測できることになる。

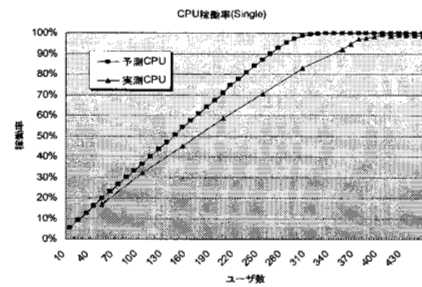


図 5 1CPU 時の Shopping Mix CPU 稼働率の比較

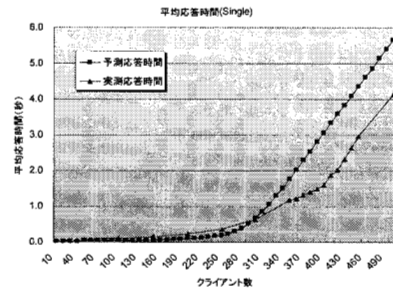


図 6 1CPU 時の Shopping Mix 平均応答時間の比較

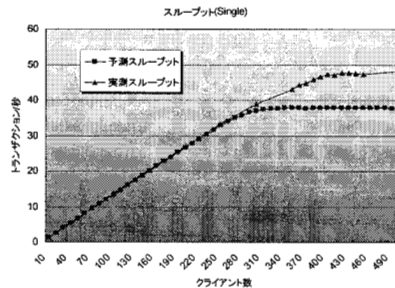


図 7 1CPU 時の Shopping Mix スループットの比較

5.3 2CPU 時の Shopping Mix 再現性の検証

次にスケールアップの予測の再現性を確かめるために、同じモデルを用いてサーバーの CPU を二つにした状態で、シミュレーションと実測を行った。1CPU 時と同様に、Shopping Mix では、同時アクセスを行うユーザ数 (EU 数) を増加させたときの CPU 稼働率、応答時間、スループットの 3 種類のデータを取得した。これらの比較結果をそれぞれ、図 8、図 9、および図 10 に示す。

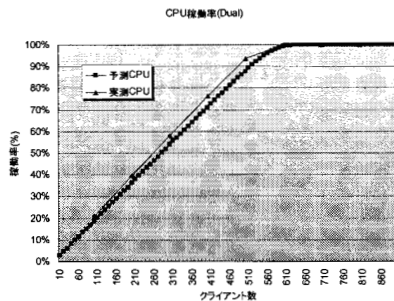


図 8 2CPU 時の Shopping Mix CPU 稼働率の比較

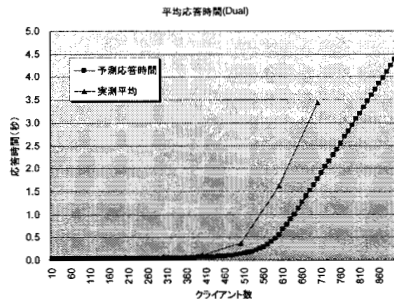


図 9 2CPU 時の Shopping Mix 平均応答時間の比較

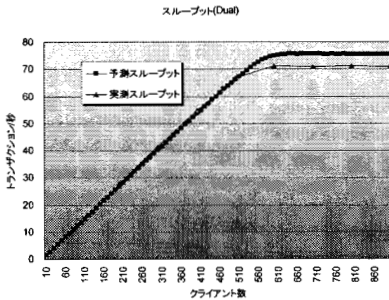


図 10 2CPU 時の Shopping Mix スループットの比較

ここでもスループットが増加から減少へ転ずる箇所をグラフから読み取と、実測での性能限界 EU=600、シミュレーションで予測した性能限界 EU=640 となり、両者の差は約 6.67%である。以上のことから、2CPU 時の Shopping Mix の再現性に関しては、妥当な範囲で予測できた。つまり、本報告の性能モデルはスケールアップ時の状況の性能予測が可能であることを示していると言える。

6. 結言

6.1 結論

Oracle 10g の性能予測を実現するために、第一段階

として、Oracle シングルインスタンスシステムを対象に、SunFire 280R (Solaris 9)上で DBT-1 ベンチマークを実施し、その結果を反映させた性能モデルを作成した。シミュレーション結果を実測と比較した結果、次のことがわかった。

- (1) DBT-1 を構成する各インタラクションの性能予測では、一部を除き実測との間に有意な差が認められなかつたこと
- (2) 1 CPU 時の DBT-1 の Shopping Mix ベンチマークにおいて、限界負荷を約 12%で予測できること
- (3) 2CPU 時のスケールアップした状態での Shopping Mix ベンチマークにおいて、限界負荷を約 7%で予測できること

6.2 今後の課題

本報告は Oracle に対するシミュレーションによる性能予測のアプローチであり、今回実験したスケールアップだけでなく、RAC 構成によるオーバーヘッドに関する Oracle 社のホワイトペーパーなどを参考に RAC 構成 (スケールアウト) での性能予測ができるようにならう。

7. 参考文献

※下記に示した URL は、報告日時点での有効である。

- [1] Oracle Japan / Oracle Database 10g / Oracle Real Application Clusters 10g: <http://www.oracle.co.jp/database/rac/>
- [2] <http://www.tpc.org/>
- [3] 「OSS 性能・信頼性評価 / 障害解析ツール開発」DB 層の評価：独立行政法人 情報処理推進機構、2004
- [4] Automatic Workload Repository, http://otn.oracle.co.jp/skillup/stats_diag/1/index.html#c9
- [5] <http://www.wireshark.org/>
- [7] IBM System p 上での Oracle Application Clusters 10g 性能検証：日本オラクル株式会社、2007 http://otndnld.oracle.co.jp/tech/grid/pdf/IBM_p5_RAC_WhitePaper.pdf

商標について

本報告中で用いられている製品名については、各社の登録商標です。